

海岸地形のスペクトル特性について

名城大学 正会員 青木 保雄
 ○ 名城大学 正会員 伊藤 政博

1.はじめに

海岸の変形は波等の外的条件に対応して様々な様相を呈してくる。著者はこの様相の内に何か周期性が潜在しているのではないかといひ、島崎らの情報統計的手法でスペクトル解析を行つた。一方、これに類似した研究として、Nordin & Albert¹⁾、芦田、田中、日野らは移動床水路の流水によつて発生する砂灘に関するスペクトル特性を調べた。その結果、砂の Repose angle と波数がスペクトルの形を決定していること、および Dunes の場合、高周波側には“一子乗則”が存在していることを指摘した。

この研究報告の内容は第27回年次学術講演会の報告に引き続いて、ある実験条件領域について室内実験を行つて、その資料に基づいてスペクトル計算を行なつたものである。

2 実験の概要

Fig. 1. から海岸地形の実験条件としては必ずしも十分であると断定しがたいが、一応、Storm beach を Normal beach に属する実験領域について実験を行なつた。

実験に使用した造波水槽は、幅 90cm、高さ 100cm、長さ 15m のコンクリート製で、Flap type の造波機を有する。そのための水槽の一端には川砂（比重：2.6）で、Table 1. の条件に合わせて、最初、Flat 倾斜面の模型海浜を造つた。海岸変形量 (h) の測定は、

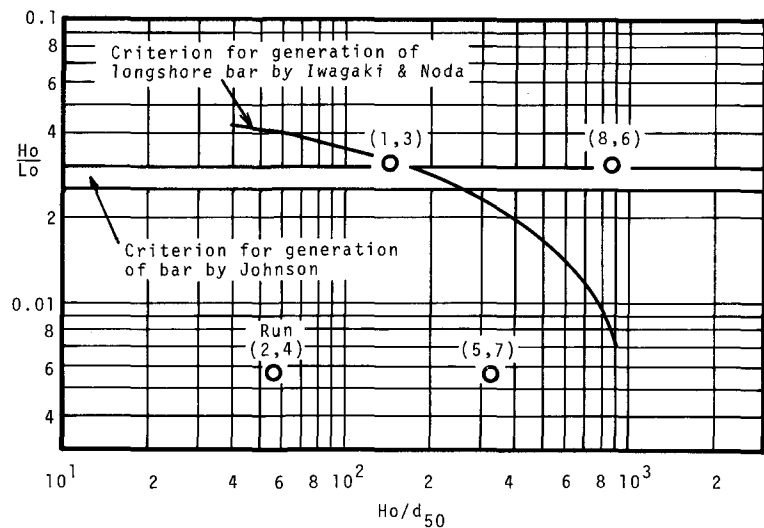


Fig. 1. Comparison between experimental conditions and criterion for generation of bar or longshore bar.

Table 1. Summary of experimental conditions.

Run number	Grain size d_{50} mm (2)	Initial beach slope i (3)	Steepness of deep water wave Ho/Lo (4)	Ho/d_{50} (5)	Elapsed time of wave operation time t hrs. (6)	water depth cm (7)
1	1.2	1/10	0.0314	147.5	0.5 1 2 4 6 8	45
2	1.2	1/10	0.0054	56.6	0.5 1 2 4 6 8	45
3	1.2	1/18	0.0314	147.5	0.5 1 2 4 6 8	45
4	1.2	1/18	0.0054	56.6	0.5 1 2 4 6 8	45
5	0.2	1/18	0.0054	340.0	0.5 1 2 4 6 8	45
6	0.2	1/18	0.0314	885.0	0.5 1 2 4 6 8	45
7	0.2	1/10	0.0054	340.0	0.5 1 2 4 6 8	45
8	0.2	1/10	0.0314	885.0	0.5 1 2 4 6 8	45

Table 1. の(6)の波の作用時間に、ポイントゲージを使用して、沖方向に測定を行つた。また、測定間隔(測定距離の比較的微小)により変動を除去する意味で 20 cm 間隔で行つた。

3. スペクトル解析

実験データはその時の波の冲波を基準用いて無次元海浜変動量として表示すると Fig. 2 のようになる。ここでスペクトル解析を適用するためには、海浜変動量の鉛直変動成分を水平面(初期海面)からの変動とする。さらに、鉛直海浜変動量は次元的であると仮定し

、横軸の距離 $l = \pi/L$ に従つて変化する鉛直海浜変動量 $X(l)$ は定常確率過程に属するものとする。すなわち、任意距離 l について $X(l)$ は Random 变数であると考える。この場合、統計的に Parameter l は任意の Parameter の集合 L の 1 個素とみなしう。上記の下で、鉛直海浜変動量を

$$\bar{X} = \text{ave. } \{ X(l) \} \quad (1)$$

$$X'(l) = X(l) - \bar{X} \quad (2)$$

と表わせば、 $X'(l)$ の自己相関係数は、 δ : lag, L : データの全長とするとき、次のようく定義される。

$$C(\delta) = X'(l)X'(l+\delta) = \lim_{L \rightarrow \infty} \frac{1}{L} \int_{-\frac{L}{2}}^{\frac{L}{2}} X'(l)X'(l+\delta) \cdot dl. \quad (3)$$

したがつて、無次元鉛直海浜変動量 $X(l)$ の波数スペクトル $S(k)$ (7(3)) から、

$$S(k) = \int_{-\infty}^{\infty} C(\delta) e^{-i2\pi k \delta} \cdot d\delta. \quad (4)$$

(4)の計算は Blackman & Tukey の方法によつた。また、計算に用いられたデータの読み取り間隔: $\delta l = 0.01$, lag 数: $\delta = 90$, 全データ数: $L = 1000$, 自由度 $= 22$ であった。これらの計算結果を波の作用時間ごとに整理したもののが, Fig. 3, (a)~(f) である。

4. 結論

Fig. 3, (a)~(f) から、スケルムの興味ある特性を明らかにすることができた。その結果を要約すると次の通りである。

① 海浜変動の時間的発達過程に関して、 $t = 0.5 \text{ hr}$ の場合、Run の違いによるスペクトル曲線の相違が著しいが、 $t = 8 \text{ hrs}$ になるとくにつれてその程度が減ずる。このことは海浜変動が平衡形状に近づくにつれて、一定の周期性を帯びることを示唆している。また、Fig. 3, (a)~(f) を通じて、スペクトル曲線の変動が大きいがこの原因として、十分な長さのデータを取ることが困難であると考えられる。

② ①に実験して、海浜変動の時間的発達過程のスペクトルは低波数域において増加している。

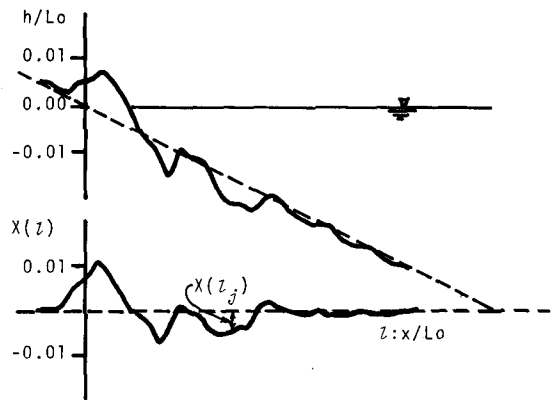


Fig. 2. Dimensionless plots of beach profile and vertical movement from an initial beach slope. (Run 5, t=8 hrs.)

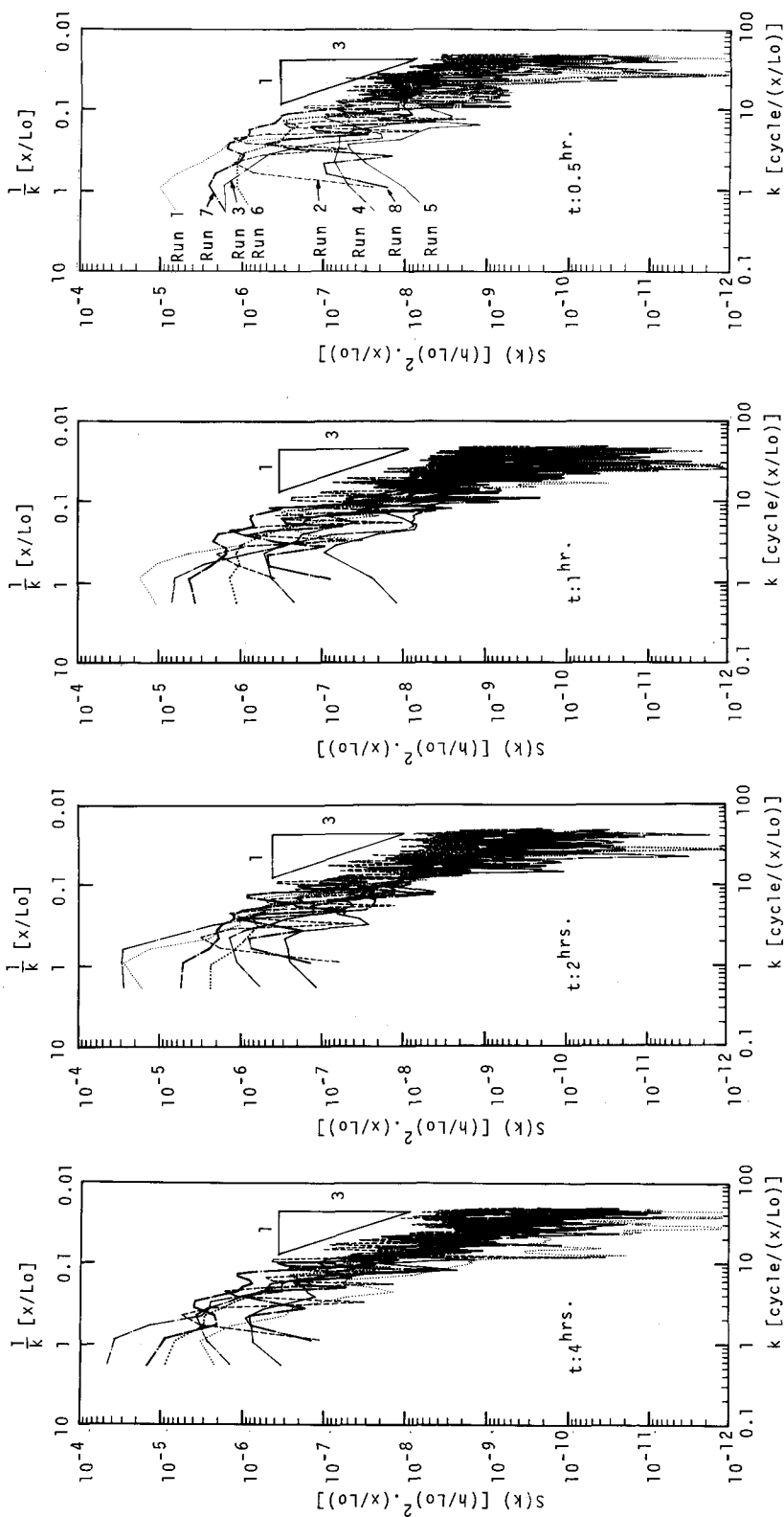


Fig. 3,(d)

Fig. 3,(c)

Fig. 3,(b)

Fig. 3,(a)

Fig. 3,(a)-(f). Wave-number spectra of coastal processes.

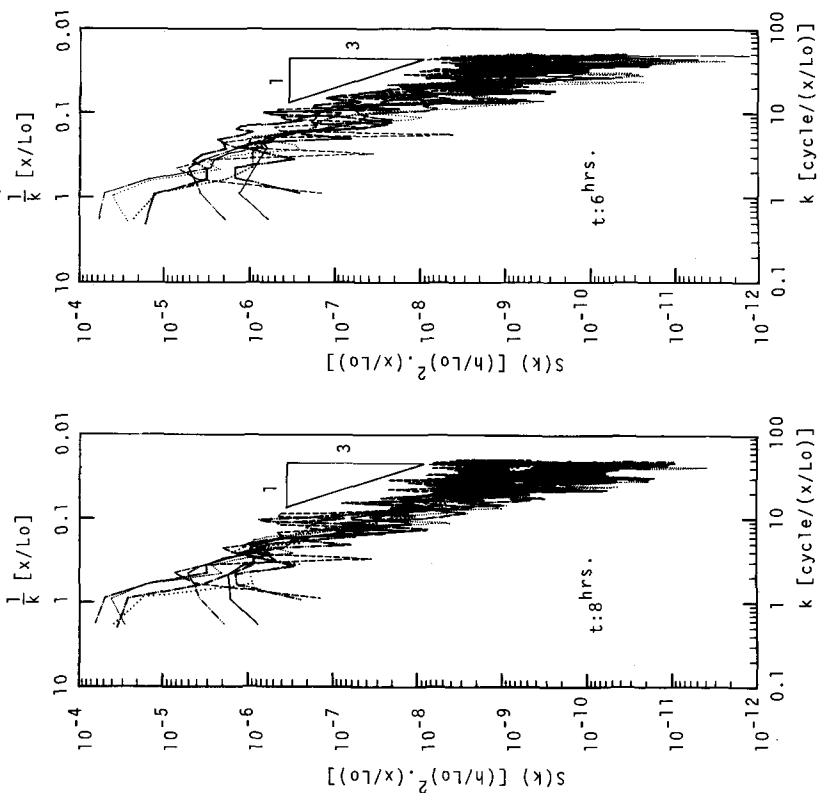


Fig. 3, (e)

Fig. 3, (f)

各Runを用いて、 $k \div 1 \sim 2$ cycle/ x/L_0 でピーク値が存在する。したがって上述のことから、直海浜地形量は $\div 1 \sim \frac{1}{2} \cdot L_0$ の海浜地形波長が卓越していけるものと推定される。

③ 海浜地形の波数スペクトルは波の作用時間方に関係なく、高波数領域(高流速のDunes)の場合と同様 -3乗則 ($S(k) \propto k^{-3}$) を従つていい。換言すれば、海浜地形の発達から平衡形状に遷移する過程について、波数スペクトルは-3乗則に乗る。

参考文献

- 1) C. F. Nordin and T. H. Algut : Spectral analysis of sand waves. J. Hydraulics Division, A.S.C.E. 92, HY5, pp. 195-214.
- 2) 芦田・田中：砂波に関する実験的研究、日本水理研究会、第10号、B. 1967, pp. 121-132.
- 3) M. Hino : Equilibrium-range spectra of sand waves formed by flowing water. J. Fluid Mech. (1968), Vol. 34, Part 3, pp. 563-579.
- 4) 青木・伊藤：海浜地形のスペクトル特性について、第2回国際海岸工学講演会講演概要集Ⅱ, 1972.10, pp. 101-102.
- 5) Y. Iwazaki and H. Noda : Laboratory study of scale effects in two-dimensional beach processes. Proc. of Coastal Engineering Conf. 1968, pp. 194-210.